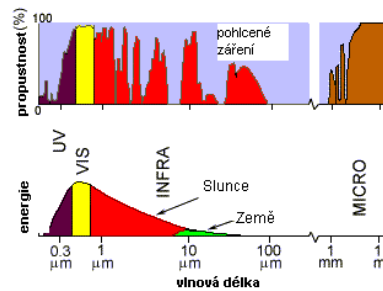


Dálkový průzkum země v mikrovlnné části spektra

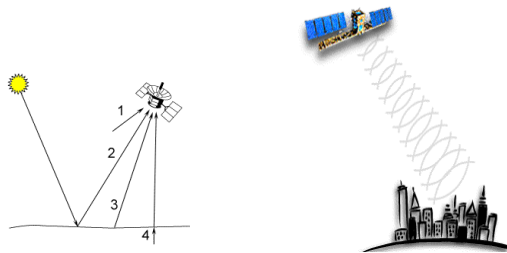


Fyzikální podstata



Základní způsoby snímání mikrovlnné části spektra

- Pasivní metody (mikrovlnný radiometr)
- Aktivní metody (RADAR)



Charakteristika

Mikrovlnné záření je schopné se šířit atmosférou téměř za jakýchkoliv podmínek

Může však procházet i do určité hloubky v sedimentech

Odrazové a vyzářovací schopnosti objektů na zemském povrchu jsou v oblasti mikrovln odlišné od těchto charakteristik v optické části spektra.

Odrazové vlastnosti povrchů jsou formovány především drsností a vodním obsahem.

Odrazové vlastnosti povrchů ovlivňují jejich dielektrické vlastnosti.

Typy RADARu – základní pojmy

RADAR - "radio detecting and ranging",

- Dopplerův RADAR
- PPI RADAR (meteorologický)
- RADAR zobrazující a nezobrazující

Radar s reálnou aperturou - SLAR (Side Looking Airborne RADAR).

Radar se syntetickou aperturou - SAR (Synthetic Aperture RADAR)

Boční RADAR

Nevojenské využití RADARu

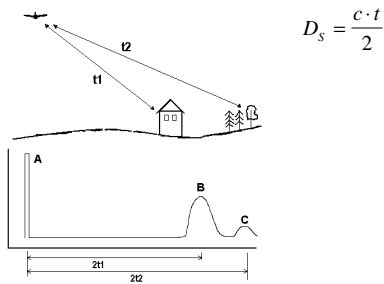
1967 - provincie Darien (Panama)

1971- Venezuela

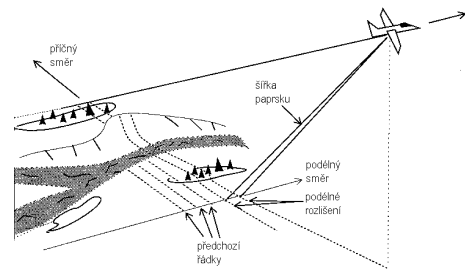
1971-1976 - RADAM (Radar for the Amazon),

Radarových snímků vytvořených z letadel bylo použito k analýze geologických poměrů, k inventarizaci lesní dřevní hmoty, lokalizaci komunikací, vyhledávání minerálů, mapování sopečných tvarů a toků velkých řek.

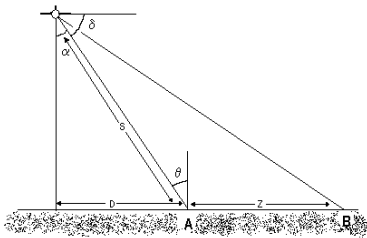
Boční radar - SLAR



Boční radar - SLAR

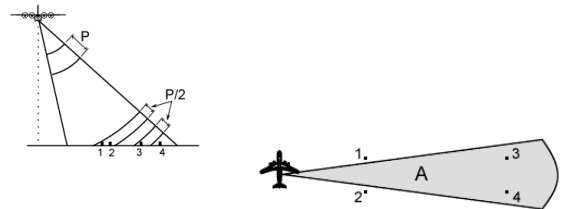


Geometrické vlastnosti radarových obrazových záznamů



A - oblast blízkého dosahu (near range), B - oblast vzdáleného dosahu (far range); α - úhel pohledu (look angle), δ - hloubkový úhel (depression angle), θ - úhel dopadu (incidence angle); S - šikmá vzdálenost (slant range), D - horizontální vzdálenost (ground range), Z - šířka záběru (swath)

Příčné prostorové rozlišení

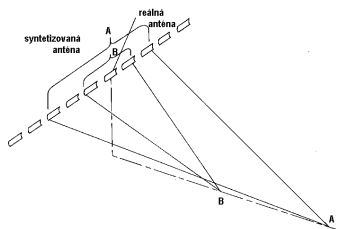


Podélné prostorové rozlišení

$$\beta = \frac{\lambda}{A}$$

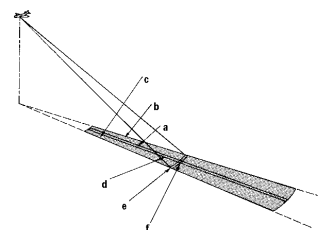
Vztah mezi šířkou paprsku (β), vlnovou délkou vyslaného signálu (λ) a délkou antény (A)

Radar se syntetickou anténou - SAR



Zaznamenaný signál je zpracován tak, jako by byl přijat anténou, jejíž délka je rovna dráze, kterou nosič urazil za dobu, po kterou byl snímán objekt v jeho zorném poli.

Dopplerův efekt - posuv frekvencí

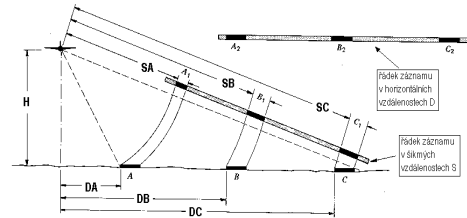


SAR zpracovává pouze střední část paprsku (a), ve které se neprojevuje Dopplerův efekt - nenastává posuv frekvencí. Tím se výrazně zlepšuje podélné prostorové rozlišení.

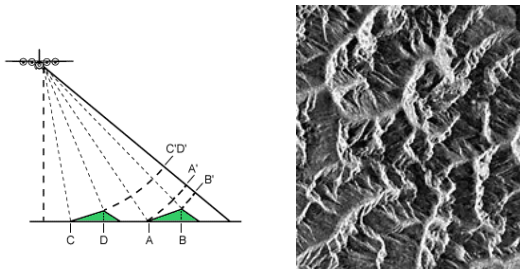
Geometrické charakteristiky radarových snímků

- nejednotné měřítko
- poziční chyby v důsledku různých nadmořských výšek terénu
- efekt paralaxy

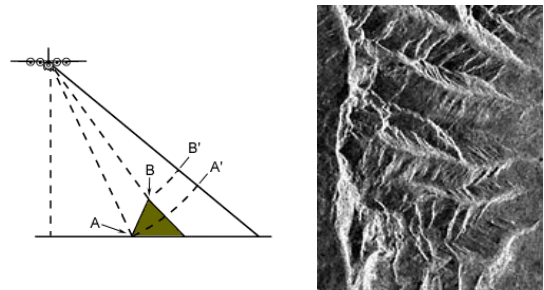
Změny měřítka v příčném směru



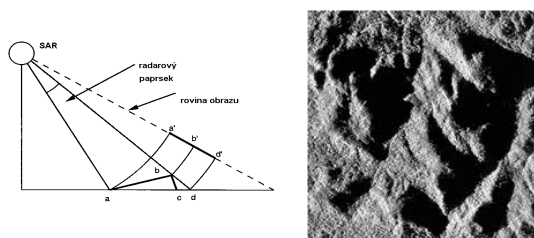
Poziční chyby v poloze objektů I - zhuštění signálu (foreshortening)



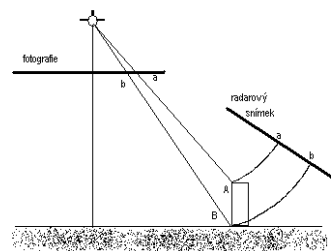
Poziční chyby v poloze objektů II - zpětný překryv (layover)



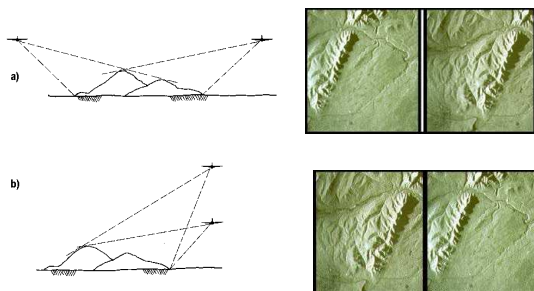
Poziční chyby v poloze objektů III - radarový stín (radar shadow)



Rozdíl v geometrii fotografie a radarového snímku



Vytváření stereoskopických dvojic z RADARu



Parametry ovlivňující vzhled radarových snímků

Parametry vnitřní

- vlnová délka (frekvence) použitého mikrovlnného záření
- polarizace použitého záření
- úhel dopadu (úhel pohledu) radarového paprsku
- azimut dopadajícího radarového paprsku ve směru jeho orientace vzhledem ke snímanému objektu

Parametry vnější

- drsnost povrchu a lokální úhel dopadu
- vlhkostní poměry
- topografie
- dielektrické vlastnosti materiálů

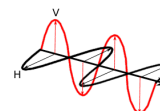
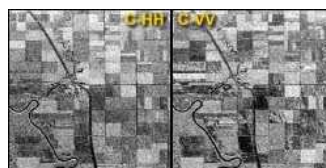
Vlnová délka záření (pásmo)



Pásmo	λ [cm]
Ka	0,75-1,1
K	1,1-1,67
Ku	1,67-2,4
X	2,4-3,75
C	3,75-7,5
S	7,5-15
L	15-30
P	30-100

S výjimkou radaru na raketoplánu jsou systémy jednopásmové

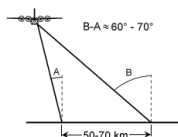
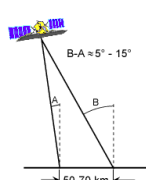
Polarizace signálu



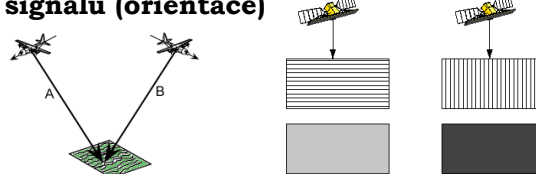
Depolarizace signálu je způsobena především odrazem z vrstvy vegetace

Úhel dopadu radarového signálu

- Ovlivňuje rozsah radarových stínů
- Malý úhel dopadu způsobuje intenzivní odraz od relativně hladkých povrchů
- Při velkém úhlu dopadu jsou hladké plochy naopak tmavé
- Velký úhel dopadu zdůrazňuje tvary snímaného reliéfu.



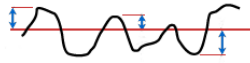
Azimut dopadu radarového signálu (orientace)



Vzájemná orientace dopadajícího radarového paprsku a snímaného objektu má výrazný vliv na vzhled výsledného snímku

Objekty uspořádané do linií kolmých k dopadajícímu paprsku (A) dávají daleko silnější odraz, než objekty v liniích orientovaných rovnoběžně s dopadajícím paprskem (B) – ulice, polní plodiny, ...

Drsnost povrchu



Hladký povrch: $h < \frac{\lambda}{8 \cdot \cos \theta}$

Drsný povrch: $h > \frac{\lambda}{8 \cdot \cos \theta}$

h - průměrná výška nerovnosti povrchu

λ - vlnová délka radarového signálu

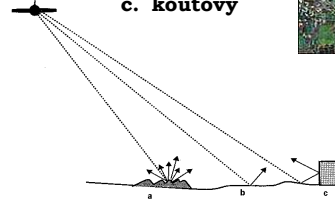
θ - úhel dopadu



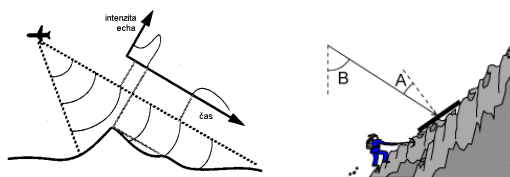
Drsnost povrchu

Základní druhy odrazů:

- difuzní
- zrcadlový
- koutový



Topografie a lokální úhel dopadu radarového signálu



Elektrické vlastnosti objektů

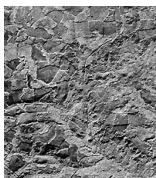


Vysoké hodnoty dielektrické konstanty způsobují vysoké hodnoty zaznamenaného odraženého signálu (kovové konstrukce)

Povrchy s vysokým vodním obsahem vykazují zvýšenou vodivost

Přítomnost vody v půdě nebo ve vegetaci zvyšuje odraz radarového signálu.

Radarový signál vegetace



- pro zjišťování vegetace jsou výhodné krátké vlnové délky kolem 2 až 6 cm,
- vzhled ploch s vegetací na radarových snímcích ovlivňuje dále především vodní obsah
- vegetace způsobuje depolarizaci signálu

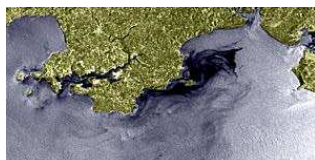
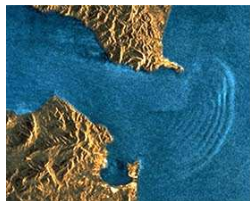
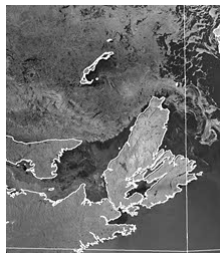
Radarový signál vody a ledu

Hladké vodní plochy způsobují zrcadlový odraz (možnost monitorování rozsahu ropných skvrn)

Zvlněná vodní hladina působí difuzní odraz (možnost nepřímého určování směru a rychlosti větru)

Radarový signál ledu závisí na dielektrické konstantě (lze rozpoznat tající led), dále také na stáří ledu (starý led se jeví jako drsný a působí difuzní odraz)

Radarový signál vody a ledu



Radarový signál půdy

Na radarových snímcích lze zjišťovat především přítomnost vody v horní několikacentimetrové vrstvě půdy.

Půdní vlhkost je zvláště zřetelná v delších vlnových délkách a zabraňuje pronikat radarovému signálu do větších hloubek.

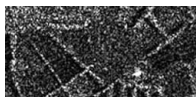
V extrémně suché půdě může radarový signál v pásmu L pronikat až do hloubky několika metrů.



Textura radarových snímků



„Speckle“ výrazná zrnitá textura - textura "solí a pepře".



Radarové systémy

- letadlové systémy (Convair-580 C/X SAR, AirSAR, IFSARE, TOPSAR) – v současné době určeny především pro mapování výšek a tvorbu DMT
- družicové systémy – topografické i tematické mapování i výšková měření

1978 - SEASAT

1981 SIR-A, 1984 SIR-B, 1994 SIR C/X
(SIR - Shuttle Imaging Radar)

1991 - ALMAZ-1, ERS-1, JERS-1

1995 - RADARSAT

Vybrané oblasti aplikací

- monitorování průběhu a rozsahu povodní
- identifikace ledu
- výzkum pobřežních zón
- mapování druhů povrchů
- monitorování jevů v lesnictví a zemědělství
- námořní navigační systémy
- identifikace ropných skvrn
- mapování prostorového rozšíření sněhové pokrývky
- měření půdní vlhkosti
- výzkum vlnění

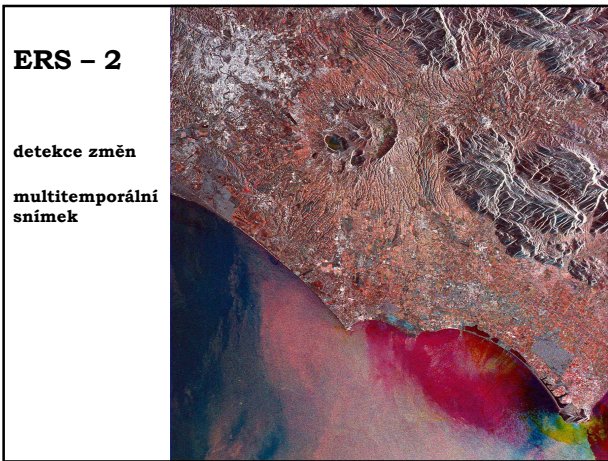
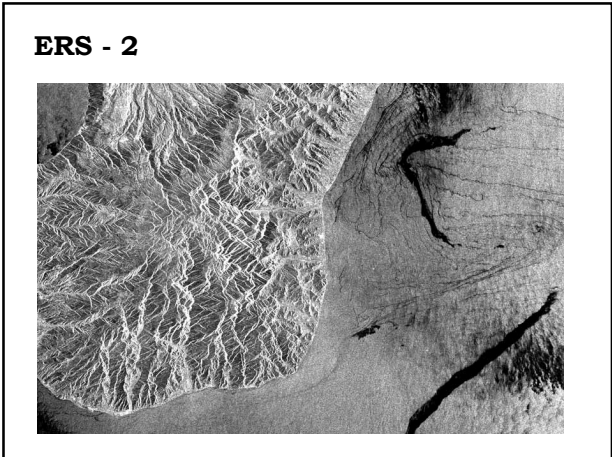
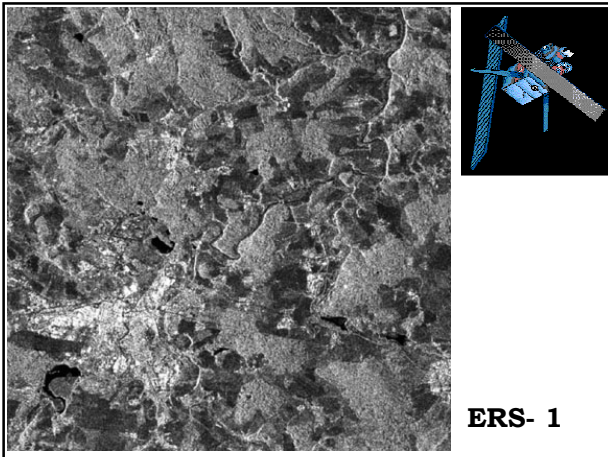
ERS

Subpolární dráha, výška letu 785 km, časové rozlišení 16 až 18 dní.

Nese tři základní instrumenty: 1) tzv. AMI (Active Microwave Instrument) - SAR pracující v C pásmu, 2) Radarový altimetr (výškoměr) pracující v Ku pásmu, 3) podélně skenující infračervený radiometr.

V režimu IMAGE pořizuje obrazový záznam z pásu širokého 100 km s rozlišením zhruba 30 m, s VV polarizací a se středním obrazovým úhlem 23 stupňů. V režimu WAVE instrument měří odrazivost od povrchu oceánu ovlivněnou vlněním. V neobrazovém režimu WIND jsou měřeny směr a rychlost větru při hladině moře.

Snímky dobře znázorňují i málo členitý reliéf, vodní plochy, dobře identifikovatelné jsou také ropné skvrny na mořské hladině.



RADARSAT

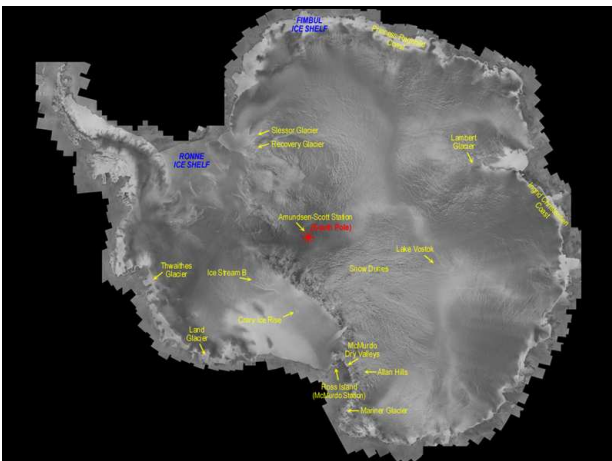
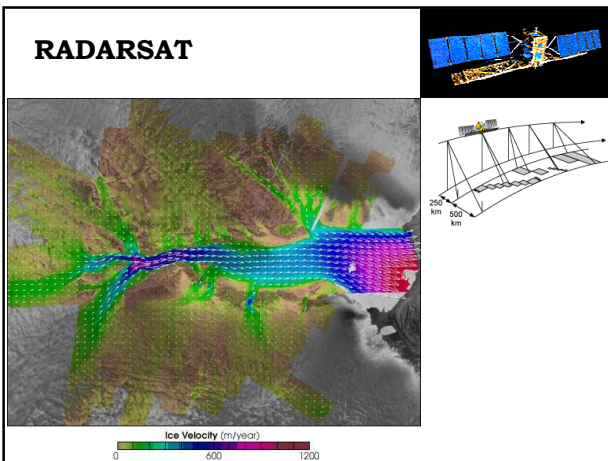
Subpolární oběžná dráha, průměrná výška 798 km, inklinace 98,6 stupňů

Může pořizovat obrazové záznamy polárních oblastí denně a záznamy oblastí mírných šířek každé tři dny.

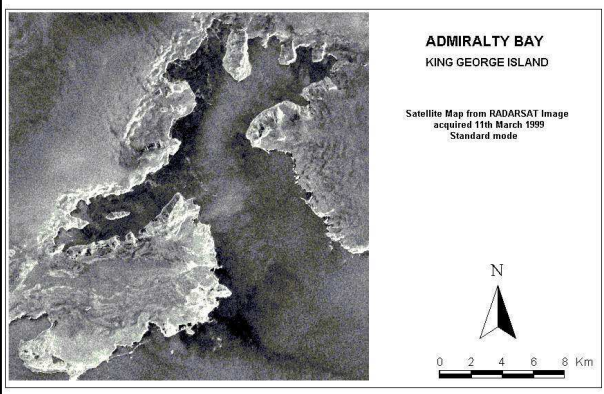
Nese SAR pracující v C pásmu (5,6 cm) s HH polarizací.

Systém může pracovat v několika režimech s různou šířkou záběru (od 45 do 510 km), s různým obrazovým úhlem (10 až 60 stupňů) a různou prostorovou rozlišovací schopností. (od cca 10 metrů). Může vytvářet stereoskopické dvojice.

Aplikace: identifikace ledu, mapování druhů povrchů (land cover), monitorování nebezpečných jevů (povodně), lesnictví a zemědělství.



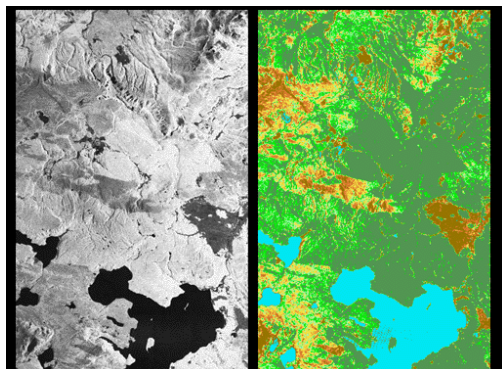
Mapování polárních oblastí



SIR C/X – Radarové snímky z raketoplánu

- SIR - Shuttle Imaging Radar
- Systém pracující v L pásmu (23,5 cm) a v C pásmu (5,7 cm) s různě polarizovaným signálem.
- Snímky s podélným rozlišením 25 metrů a příčným rozlišením 14 až 46 metrů v závislosti na úhlu dopadu signálu.

SIR C/X – Radarové snímky z raketoplánu

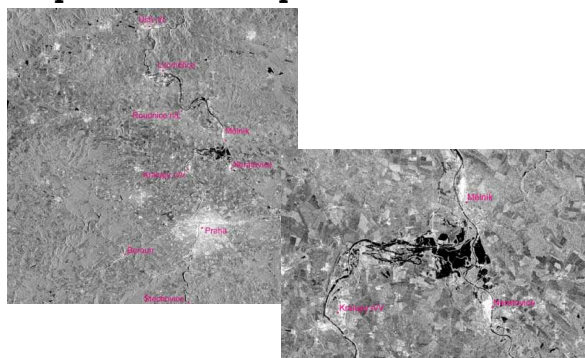


Mapování ploch postížených požáry lesa



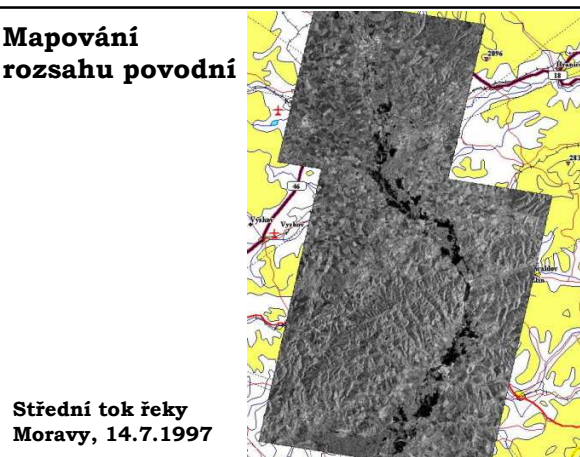
JERS - 1

Mapování rozsahu povodní



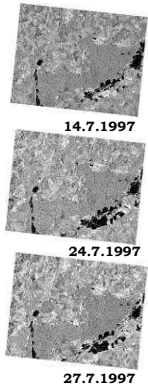
Mělník, 17.8. 2002

Mapování rozsahu povodní

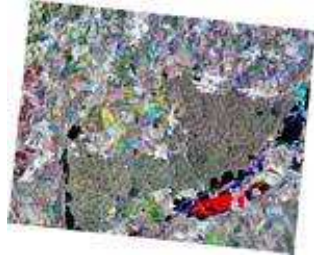


Střední tok řeky Moravy, 14.7.1997

Mapování rozsahu povodní



Barevná syntéza ze tří časových horizontů



Morava, červenec 1997
snímky z družice
RADARSAT

